

儿童盆腔横纹肌肉瘤特征性 CT 征象分析及数学诊断模型构建

李彦娇

重庆医科大学附属儿童医院放射科/国家儿童健康与疾病临床医学研究中心/儿童发育疾病研究教育部重点实验室/儿童医疗大数据智能应用重庆市高校工程研究中心 重庆 400014

摘 要:目的:探讨儿童盆腔横纹肌肉瘤(pelvic rhabdomyosarcoma,RMS)的 CT 征象,并基于贝叶斯逐步判别分析法建立数学诊断模型,为临床诊断提供影像学依据。方法:共纳入 116 例经病理证实的盆腔恶性肿瘤患儿,随机分为训练组(93 例)和验证组(23 例)。 根据病理结果将训练组进一步分为 RMS 组(n=32)和非 RMS 组(n=61)。 对 CT 征象进行统计学分析,并采用逐步判别法筛选特征性征象。应用贝叶斯判别分析建立诊断模型,通过留一法交叉验证及验证组进行模型验证。结果:五项 CT 征象(肿瘤密度以囊性为主型、多结节融合征、渐进性向心性不均匀强化、钙化及出血)被确定为 RMS 的特征性 CT 表现。建立的诊断模型为:(RMS 组) G_1 =-7.759+4.246 x_1 +4.266 x_2 +8.437 x_3 -1.278 x_4 -0.164 x_5 ;(非RMS 组) G_2 =-2.377+1.983 x_1 +0.956 x_2 +0.306 x_3 +1.911 x_4 +2.680 x_5 (x_{1-5} 分别代表上述征象,存在 =1,否 =0)。判别原则: $G_1 > G_2$ 归入 RMS 组。留一法交叉验证总体准确率 90.3%(敏感性 84.4%,特异性 93.4%);验证组总体准确率 87.0%(敏感性 83.3%,特异性 88.2%)。结论:儿童盆腔 RMS 具有特征性 CT 征象,基于此建立的数学诊断模型,对儿童盆腔横纹肌肉瘤的诊断具有可靠性和高效性。

关键词:横纹肌肉瘤;骨盆;儿童;计算机断层扫描;数学诊断模型

引言

横纹肌肉瘤(RMS)是儿童最常见的软组织肉瘤之一,恶性度高^[1,2],盆腔为好发部位。术前准确诊断对治疗决策及预后至关重要。CT 是评估盆腔肿瘤的常用影像学手段,但RMS常缺乏特异性,易与其他盆腔恶性肿瘤(如卵黄囊瘤、恶性畸胎瘤等)混淆 ^[1-4]。目前针对儿童盆腔 RMSCT 特征的系统性研究较少 ^[2]。

贝叶斯判别分析是一种基于概率的统计分类方法,逐步判别分析能有效筛选特征变量^[5]。二者结合可优化模型效能。本研究旨在分析儿童盆腔 RMS 的特征性 CT 征象,并融合上述方法构建数学诊断模型,为临床鉴别诊断提供量化工具。

1 材料与方法

1.1 研究对象

检索 2017 年 1 月至 2024 年 1 月本院经病理证实的盆腔恶性肿瘤患儿 116 例。纳入标准:①病理确诊;②术前有盆腔增强 CT;③图像清晰。排除标准:①图像质量差;②未行增强 CT;③病理不明。采用随机分组法将患者分为训练组(93 例,80%)与验证组(23 例,20%)。训练组中

RMS 32 例,非 RMS 61 例(含卵黄囊瘤、恶性畸胎瘤等)。 两组年龄、性别分布无显著差异(P>0.05),具有可比性。

1.2 CT 检查

采用 256 层螺旋 CT (Philips Brilliance iCT) , 扫描参数: 管电压 80–100 kV , 管电流 100–200 mA (根据体重调整) , 层厚 5.0 mm , 重建层厚 1 mm 。比剂为欧乃派克 (350 mg/ mL) , 剂量 1.5 mL/kg(最大为 80 mL) , 行平扫及动脉期(30s) 、静脉期 (65s) 增强扫描 。

1.3 CT 特征提取

由两位不知病理结果的资深腹部放射科医师独立评估图像。评估指标包括:肿瘤大小、密度(实性/囊性为主、钙化、出血、坏死)、形态(多结节融合、分叶、圆形/类圆形)、边界、强化特征(周围血管、渐进性向心性不均匀强化、葡萄簇样强化)及转移情况。分歧时协商一致或由第三位高年资医师仲裁。评估者间一致性高(Kappa=0.948)。

1.4 统计学分析

使用 SPSS 23.0。计量资料符合正态分布用 $x \pm s$ 表示,行 t 检验;非正态分布用中位数(四分位数)表示,行非参数 Wilcoxon 秩和检验 $^{[6]}$ 。计数资料用频数表示,行 χ^2 检验

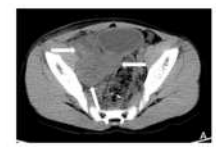


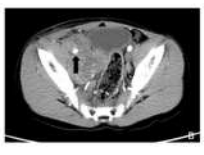
或 Fisher 精确检验。以 P<0.05 为差异有统计学意义。采用 Wilks ' A 逐步判别分析(引入/剔除 F 值: 3.84/2.71)筛 选有鉴别意义的 CT 特征,并建立贝叶斯判别函数。通过留一法交叉验证及验证组检验模型准确性。

2 结果

2.1 特征性 CT 征象筛选

单因素分析显示,8个 CT 特征在 RMS 与非 RMS 组间差异有统计学意义(P<0.05): "肿瘤密度以囊性为主"、"多结节融合"、"分叶状"、"周围血管包绕"、"不均匀向心性渐进性强化"、"肺转移"、"钙化"和"出血"。逐步判别分析最终纳入 5 个最具判别力的特征构建模型: 肿瘤密度以囊性为主(x_1)、多结节融合(x_2)、渐进性向心性不均匀强化(x_3)、钙化(x_4)、出血(x_5)。





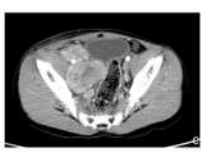






图 1 10 岁男性盆腔横纹肌肉瘤患儿影像。(A) 平扫 CT: 盆腔内见 多发大小不等结节(白箭)部分结节融合,部分结节呈密度不均表现,未见出血及钙化(B)增强 CT(动脉期)病灶包绕血管(黑箭)并呈不均匀强化(C)增强 CT(静脉期)病灶呈渐进性向心性不均

匀强化 (D-E)(VR) 病灶(白箭)包绕血管(黑箭)。

2.2 诊断模型建立

建立的贝叶斯判别函数如下:

(RMS 组) $G_1 \!\!=\! -7.759 \!\!+\! 4.246 x_1 \!\!+\! 4.266 x_2 \!\!+\! 8.437 x_3 \!\!-\! 1.278 x_4 \!\!-\! 0.164 x_5$

(非RMS组) $G_2 \!\!=\!\! -2.377 \!\!+\! 1.983 x_1 \!\!+\! 0.956 x_2 \!\!+\! 0.306 x_3 \!\!+\! 1.91$ $1 x_4 \!\!+\! 2.680 x_5$

判别规则: 计算 G_1 与 G_2 值,若 G_1 > G_2 ,判为 RMS;若 G_1 < G_2 ,判为非 RMS。

2.3 诊断模型准确性

留一法交叉验证:训练组总体准确率 90.3%,敏感性 84.4%,特异性 93.4%。RMS组 32例中 27例正确分类(84.4%),非 RMS组 61例中 57例正确分类(93.4%)。

独立验证组验证:总体准确率 87.0%,敏感性 83.3%,特异性 88.2%。RMS 组 6 例中 5 例正确分类(83.3%),非RMS 组 17 例中 15 例正确分类(88.2%)(见表 1)。

表 1 儿童盆腔 RMS CT 数学诊断模型准确性验证结果

验证方法	实际分组	n	预测例数 (n,%)		判别
			横纹肌肉瘤	非横纹肌肉 瘤	准确率
交叉验证	横纹肌肉瘤	32	27(84.4)	5(15.6)	90.3%
	非横纹肌肉瘤	61	4(6.6)	57(93.4)	
验证组	横纹肌肉瘤	6	5(83.3)	1(16.7)	97.00/
	非横纹肌肉瘤	17	2(11.7)	15(88.2)	87.0%

注: n= 数量

3 讨论

本研究识别出 5 项具有高度鉴别价值的 CT 特征: 肿瘤密度以囊性为主型、渐进性向心性不均匀强化、多结节融合征、钙化及出血。这些 CT 征象可能与其病理学特征相关。多项研究 [2-4,7-9] 表明, RMS 富含黏液组织,导致囊性为主的密度特征。RMS 内富含纤维组织,纤维组织影响对比剂动力学,表现为渐进性向心性强化。此外,RMS 多中心侵袭性生长形成多结节融合。钙化与出血相对少见,此结果与既往研究 [2-3] 相符。

单一CT 征象鉴别诊断价值有限。本研究创新性地将逐步判别分析与贝叶斯判别分析结合,构建了多元数学诊断模型。该模型整合了多特征信息,量化了诊断过程,交叉验证与独立验证均显示其具有较高的准确性(>87%)和良好的特异性(>88%)。模型函数简洁,便于临床医师应用(如Excel 表格或简单编程实现),为RMS的术前无创诊断提供了客观工具。

本研究局限性: ①回顾性研究存在选择偏倚可能; ② 样本量相对有限(RMS属罕见病),未来需多中心大样本 验证; ③未纳入 MRI 特征进行比较。

4 结论

儿童盆腔 RMS 在 CT 上表现出特征性征象。基于贝叶斯判别分析构建的数学诊断模型,能有效鉴别 RMS 与其他盆腔恶性肿瘤,诊断效能良好,具备临床转化应用前景。此数学建模思路可推广至其他肿瘤的鉴别诊断。

参考文献:

[1]Sun F, Zhao SH, Li HM, Bao L, Xu L, Wang DB. 儿童阴道恶性肿瘤的计算机断层扫描与磁共振成像表现:内胚窦瘤与横纹肌肉瘤[J]. 计算机辅助断层扫描杂志. 2020 Mar/



Apr;44(2):193-6.

- [2] Chen X, Huang Y, He L, Zhang T, Zhang L, Ding H. 基于 CT 影像组学鉴别儿童盆腔横纹肌肉瘤与卵黄囊瘤 [J]. 肿瘤学前沿 . 2020;10:584272.
- [3] Tannous WN, Azouz EM, Homsy YL, Kiruluta HG, Grattan-Smith D. 儿童盆腔横纹肌肉瘤的 CT 与超声成像:对56 例患者的回顾性分析 [J]. 儿科放射学 . 1989;19(8):530-4.
- [4]Shi J, Du J, Wu W, Wang Q. 儿童非器官起源腹部横纹肌肉瘤的临床及影像学特征 [J]. 中华肿瘤杂志. 2016 Nov 23;38(11):845-51.
- [5] Okeh UM, Ugwu AC. 贝叶斯定理: 生物医学科学研究中的范式工具[J]. 东非公共卫生杂志. 2009 Apr;6 Suppl(1):11-9.

- [6] Lin T, Chen T, Liu J, Tu XM. 曼 惠特尼 威尔科克森秩和检验在调查数据中比较平均秩的应用拓展 [J]. 医学统计学 . 2021 Mar 30;40(7):1705–17.
- [7] Broecker BH, Plowman N, Pritchard J, Ransley PG. 儿童盆 腔横纹肌肉瘤 [J]. 英国泌尿学杂志 . 1988 May;61(5):427–31.
- [8] Grosfeld JL, Smith JP, Clatworthy HW, Jr. 婴幼儿与儿童的盆腔横纹肌肉瘤 [J]. 泌尿学杂志 . 1972 Apr;107(4):673-5.
- [9] Hensle TW, Chang DT. 儿童盆腔横纹肌肉瘤的重建手术 [J]. 北美泌尿临床 . 2000 Aug;27(3):489-502, ix.

作者简介: 李彦娇(1995—), 女, 民族: 汉, 籍贯: 四川广安, 学历: 硕士, 职称: 初级, 研究方向: 儿童影像学, 科室: 放射科。